

INSTITUTO DE TECNOLOGIA - UFPA  
FACULDADE DE ENG. MECÂNICA

DISCIPLINA: MECÂNICA DOS SÓLIDOS I

**Parte 2:**  
**Tensão: conceitos básicos**

**Professor: Leonardo Dantas Rodrigues**



# TENSÕES NOS ELEMENTOS DE UMA ESTRUTURA (DEFINIÇÃO DE TENSÃO)

A análise estática para obtenção de esforços nas estruturas e componentes, revisada na **Parte 1**, é o primeiro e indispensável passo para uma análise de projeto ou de uma estrutura em serviço. Porém, essa avaliação não nos diz se a estrutura suportará, ou não, as cargas atuantes com segurança.

A barra da figura 2.1, por exemplo, vai ou não falhar sob a carga **P**? Isso depende não somente do valor da carga, mas da área da seção da barra **A** e do material do qual ela é constituída.

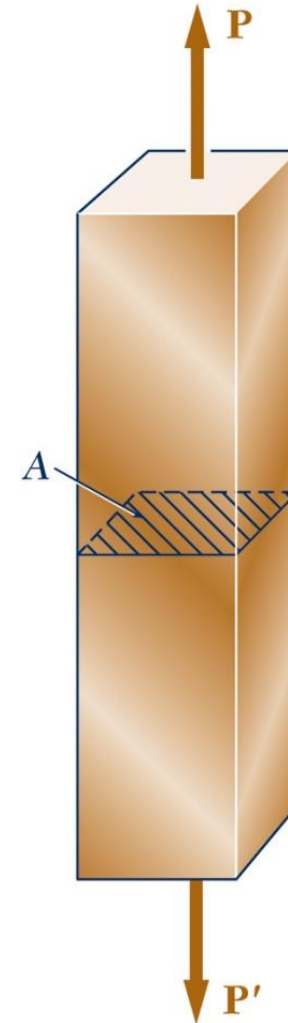


Figura 2.1

# TENSÕES NOS ELEMENTOS DE UMA ESTRUTURA (DEFINIÇÃO DE TENSÃO)

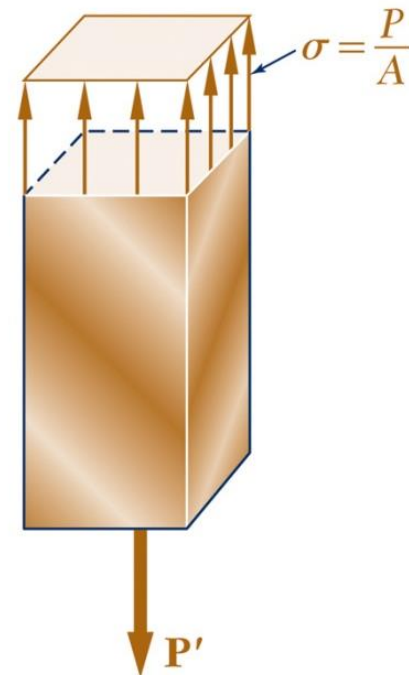
**Definição:** A força por unidade de área, ou intensidade das forças distribuídas sobre uma determinada seção (figura 2.2), é chamada de **tensão** e é representada pela letra grega sigma ( $\sigma$ ), quando for normal à seção.

$$\sigma = \frac{P}{A} \quad (2.1)$$

**Unidades:**

$$[\sigma] = \frac{[N]}{[m^2]} = \text{Pa} \quad (\text{S.I.})$$

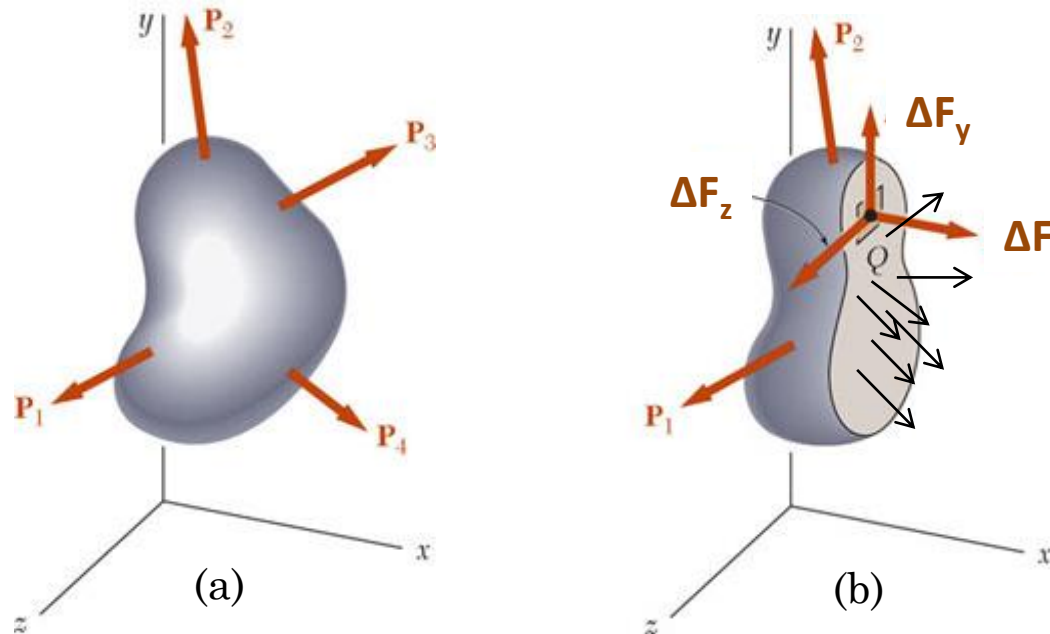
$$[\sigma] = \frac{[lbf]}{[in^2]} = \text{psi} \quad (\text{Inglês})$$



**Figura 2.2**

# TENSÕES NOS ELEMENTOS DE UMA ESTRUTURA (ESTADO GERAL)

Para entendermos as condições de tensões internas geradas em um corpo por uma distribuição de carga qualquer (figura 2.3a), secciona-se o corpo no plano desejado (no caso,  $y$ - $z$ ) e elege-se um ponto qualquer  $Q$  no plano gerado (figura 2.3b).



**Figura 2.3**

Assume-se então que o ponto escolhido tem área  $\Delta A$  e que todas as forças atuantes nesta podem ser representadas pelo vetor  $\Delta F$ . Este vetor pode ser dividido em componentes no sistema  $x$ - $y$ - $z$  (figura 2.3b).

# TENSÕES NOS ELEMENTOS DE UMA ESTRUTURA (ESTADO GERAL)

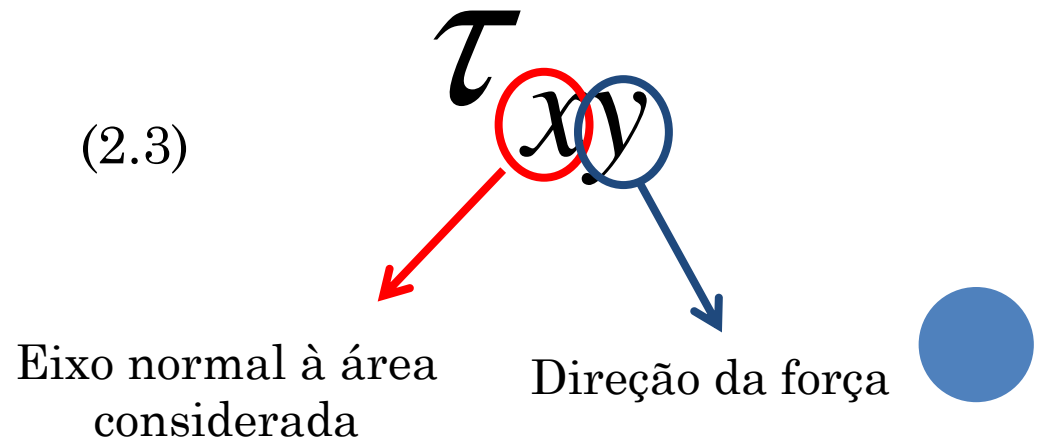
**Tensão Normal:** é a intensidade da força ou força por unidade de área, que atua na direção perpendicular a  $\Delta A$ . Assim, para o plano de corte da figura 2.3a, tem-se:

$$\sigma_x = \lim_{\Delta A \rightarrow 0} \frac{\Delta F_x}{\Delta A} \quad (2.2)$$

**Tensão Cisalhante:** é a intensidade da força ou força por unidade de área, que atua na direção tangente a  $\Delta A$ . Ela é representada pela letra  $\tau$  (tau):

$$\tau_{xy} = \lim_{\Delta A \rightarrow 0} \frac{\Delta F_y}{\Delta A} \quad (2.3)$$

$$\tau_{xz} = \lim_{\Delta A \rightarrow 0} \frac{\Delta F_z}{\Delta A}$$



# TENSÕES NOS ELEMENTOS DE UMA ESTRUTURA (ESTADO GERAL)

Analogamente, na figura 2.3a, se passarmos um corte através do ponto Q paralelo ao plano **x-z**, chegamos às componentes de tensão:  $\sigma_y, \tau_{yx}$ , e  $\tau_{yz}$ .

$$\sigma_y = \lim_{\Delta A \rightarrow 0} \frac{\Delta F_y}{\Delta A} \quad (2.4)$$

$$\tau_{yx} = \lim_{\Delta A \rightarrow 0} \frac{\Delta F_x}{\Delta A} \quad (2.5)$$

$$\tau_{yz} = \lim_{\Delta A \rightarrow 0} \frac{\Delta F_z}{\Delta A}$$

Finalmente, passando um corte através do ponto Q paralelo ao plano **x-y**, chegamos às componentes de tensão:  $\sigma_z, \tau_{zx}$ , e  $\tau_{zy}$ .

$$\sigma_z = \lim_{\Delta A \rightarrow 0} \frac{\Delta F_z}{\Delta A} \quad (2.6)$$

$$\tau_{zx} = \lim_{\Delta A \rightarrow 0} \frac{\Delta F_x}{\Delta A} \quad (2.7)$$

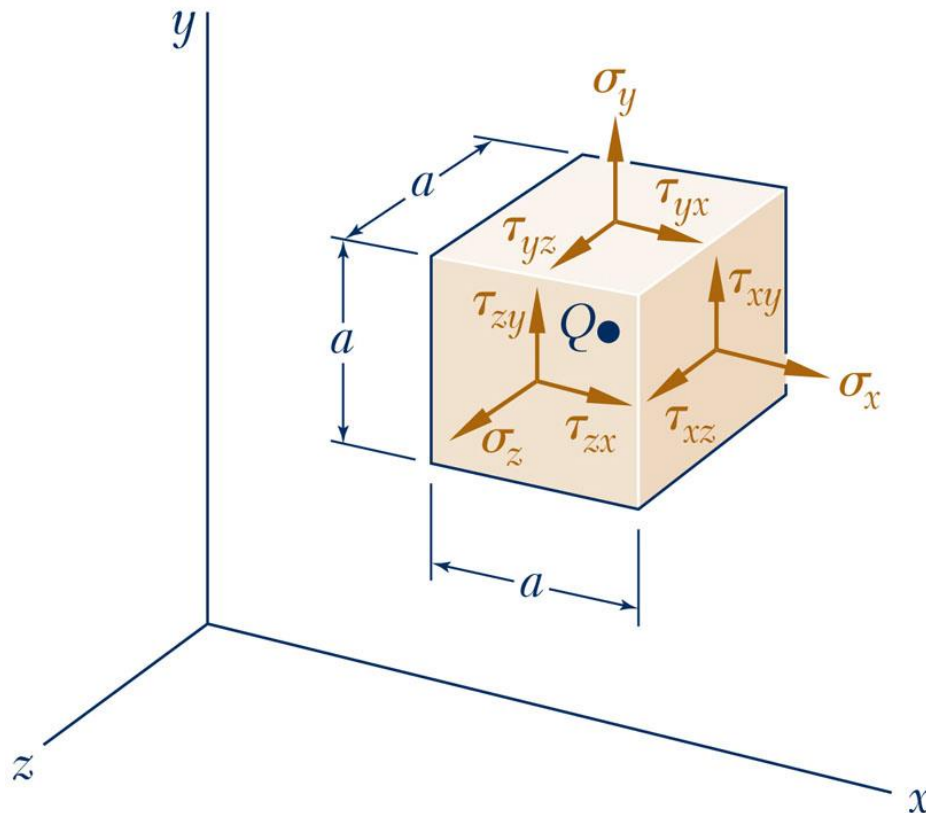
$$\tau_{zy} = \lim_{\Delta A \rightarrow 0} \frac{\Delta F_y}{\Delta A}$$



# TENSÕES NOS ELEMENTOS DE UMA ESTRUTURA (ESTADO GERAL: PARALELEPÍPEDO ELEMENTAR)

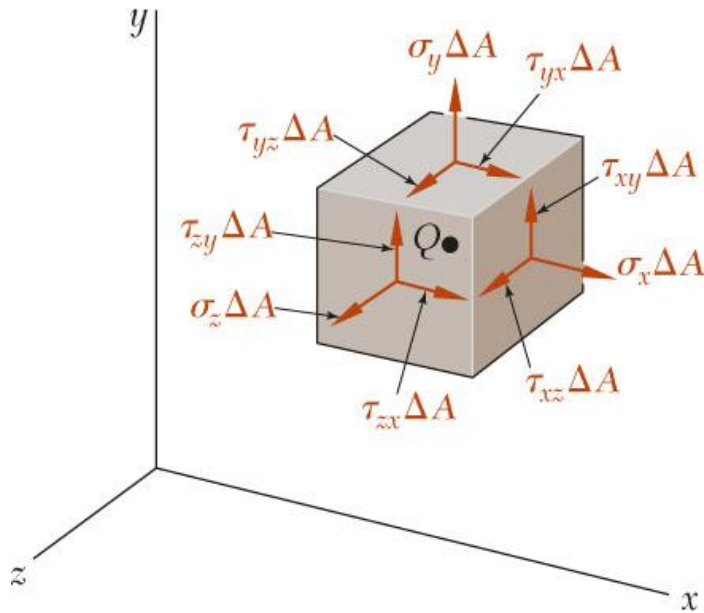
Para facilitar a visualização do estado de tensão geral, normalmente faz-se uso do **paralelepípedo elementar** (figura 2.4).

Copyright © The McGraw-Hill Companies, Inc. Permission required for reproduction or display.



**Figura 2.4: Paralelepípedo elementar**

# TENSÕES NOS ELEMENTOS DE UMA ESTRUTURA (ESTADO GERAL: PARALELEPÍPEDO ELEMENTAR)



**Figura 2.5**

A combinação de forças geradas pelas tensões no paralelepípedo elementar devem satisfazer às condições de equilíbrio:

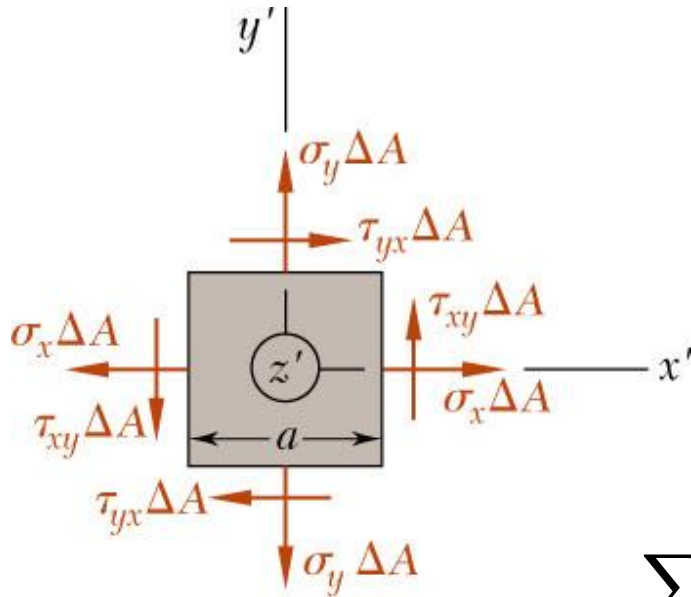
$$\sum F_x = \sum F_y = \sum F_z = 0 \quad (2.8)$$

$$\sum M_x = \sum M_y = \sum M_z = 0$$

Há pares de forças atuantes no cubo que atuam em sentidos opostos (figura 2.5), atendendo à condição de equilíbrio de forças.



# TENSÕES NOS ELEMENTOS DE UMA ESTRUTURA (ESTADO GERAL: PARALELEPÍPEDO ELEMENTAR)



**Figura 2.6**

Para demonstrar o equilíbrio de momentos, é traçado um sistema de eixos  $x'$ ,  $y'$  e  $z'$ , traçado tendo  $Q$  como origem e com eixos paralelos a  $x$ ,  $y$  e  $z$  respectivamente. Utilizando o plano  $x'$ - $y'$  (figura 2.6) e fazendo o somatório de momentos com relação a  $z'$ , tem-se:

$$\sum M_{z'} = 0 \rightarrow 2(\tau_{xy}\Delta A)\frac{a}{2} - 2(\tau_{yx}\Delta A)\frac{a}{2} = 0$$

Chegando-se a:  $\tau_{xy} = \tau_{yx} \quad (2.9)$

Analogamente, chega-se a:

$$\tau_{xz} = \tau_{zx} \quad \tau_{yz} = \tau_{zy} \quad (2.10)$$


# TENSÕES NOS ELEMENTOS DE UMA ESTRUTURA (ESTADO GERAL: TENSOR DE TENSÕES)

Como visto até o momento, pelas condições de equilíbrio, um estado de tensão completo pode ser representado por seis componentes. Normalmente, este estado é apresentado através de uma matriz chamada ***tensor de tensões***.

*O tensor de tensões é uma matriz simétrica com as tensões normais na diagonal principal*

$$\sigma = \begin{bmatrix} \sigma_x & \tau_{xy} & \tau_{xz} \\ \tau_{xy} & \sigma_y & \tau_{yz} \\ \tau_{xz} & \tau_{yz} & \sigma_z \end{bmatrix}_{(3 \times 3)} \quad (2.11)$$

Para o estado plano de tensões (x-y), que corresponderá à maioria dos problemas práticos, tem-se

$$\sigma = \begin{bmatrix} \sigma_x & \tau_{xy} & 0 \\ \tau_{xy} & \sigma_y & 0 \\ 0 & 0 & 0 \end{bmatrix} = \begin{bmatrix} \sigma_x & \tau_{xy} \\ \tau_{xy} & \sigma_y \end{bmatrix}_{(2 \times 2)} \quad (2.12)$$


# CARGA AXIAL E TENSÃO NORMAL

A resultante das forças internas para uma barra axialmente carregada é normal a uma seção de corte perpendicular ao eixo axial da barra.

A tensão normal em um determinado ponto pode não ser igual à tensão média, mas a resultante da distribuição de tensões deve satisfazer:

$$P = \int dF = \int_A \sigma dA \rightarrow P = \sigma A \quad (2.13)$$

$$\sigma = \frac{P}{A}$$

$\sigma$  é a tensão normal média em qualquer ponto da área da seção transversal;

$P$  é a resultante das forças normais internas, aplicada no centróide da seção transversal;

$A$  é a área da seção transversal.

Na prática consideraremos que a distribuição das tensões normais em uma barra carregada axialmente é uniforme, exceto nas seções muito próximas da aplicação das cargas (figuras 2.7 b e c)

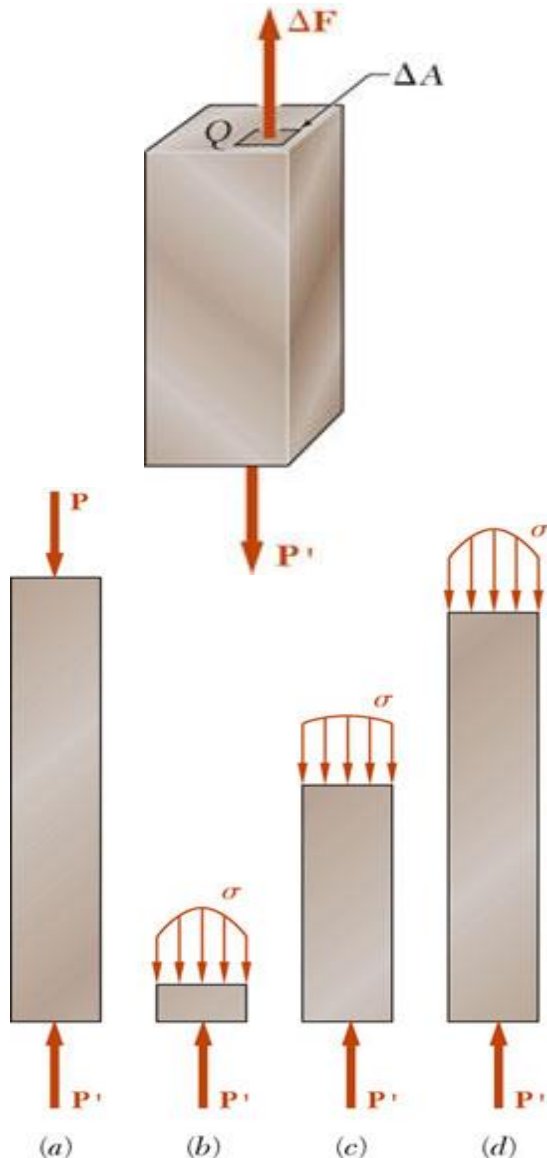
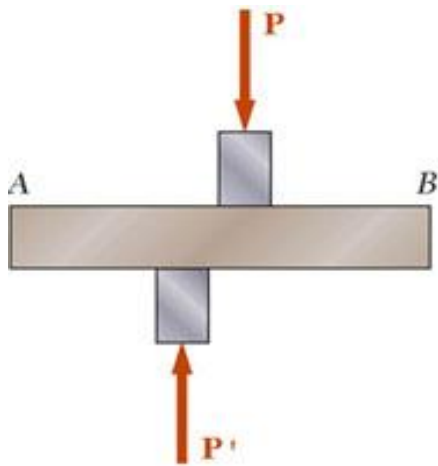


Figura 2.7

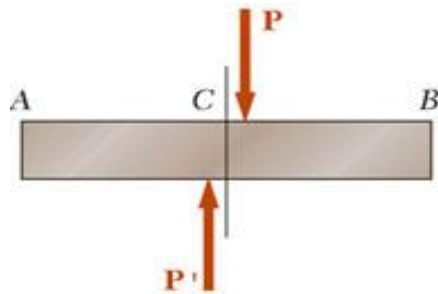
# TENSÃO DE CISALHAMENTO



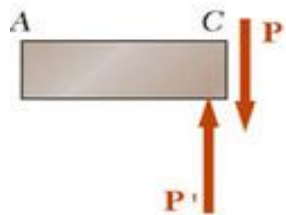
Forças P e P' são aplicadas transversalmente à barra AB (figura 2.8).

Forças internas correspondentes atuam no plano de seção transversal C e são chamadas forças de cisalhamento.

A resultante da distribuição da força de cisalhamento interna é definida no corte da seção e é igual à carga P (força cortante).



(a)



(b)

A tensão média de cisalhamento correspondente é,

$$\tau_{\text{med}} = \frac{P}{A} \quad (2.14)$$

A distribuição da tensão de cisalhamento varia de zero na superfície da barra até um valor máximo que pode ser muito superior ao valor médio.

Veremos isso mais à frente (parte 6), por enquanto trabalharemos com o valor médio.

Figura 2.8

# TENSÃO DE CISALHAMENTO

## Cisalhamento Simples

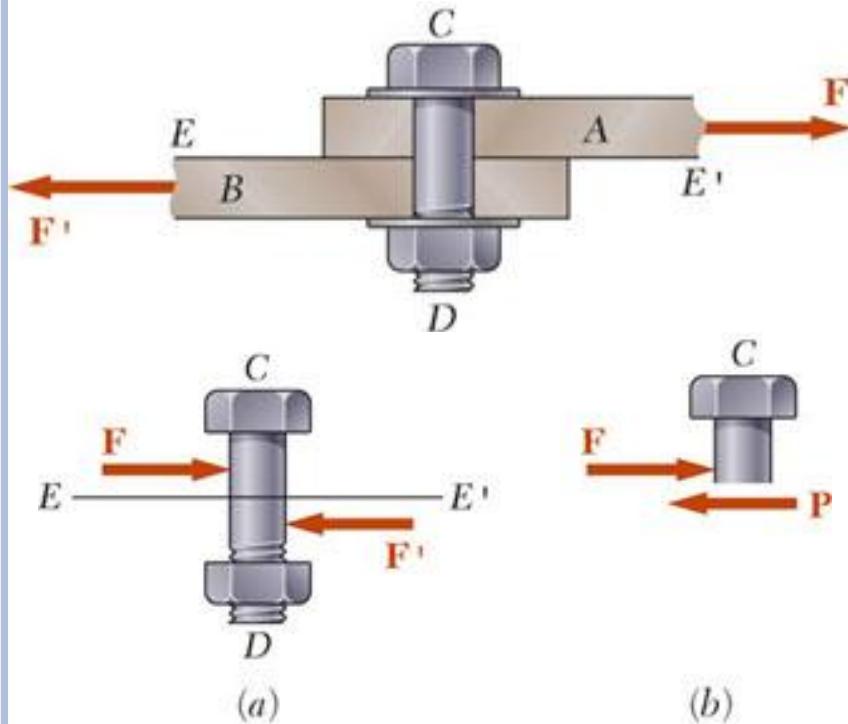


Figura 2.9

$$\tau_{\text{med}} = \frac{P}{A} = \frac{F}{A} \quad (2.14)$$

## Cisalhamento Duplo

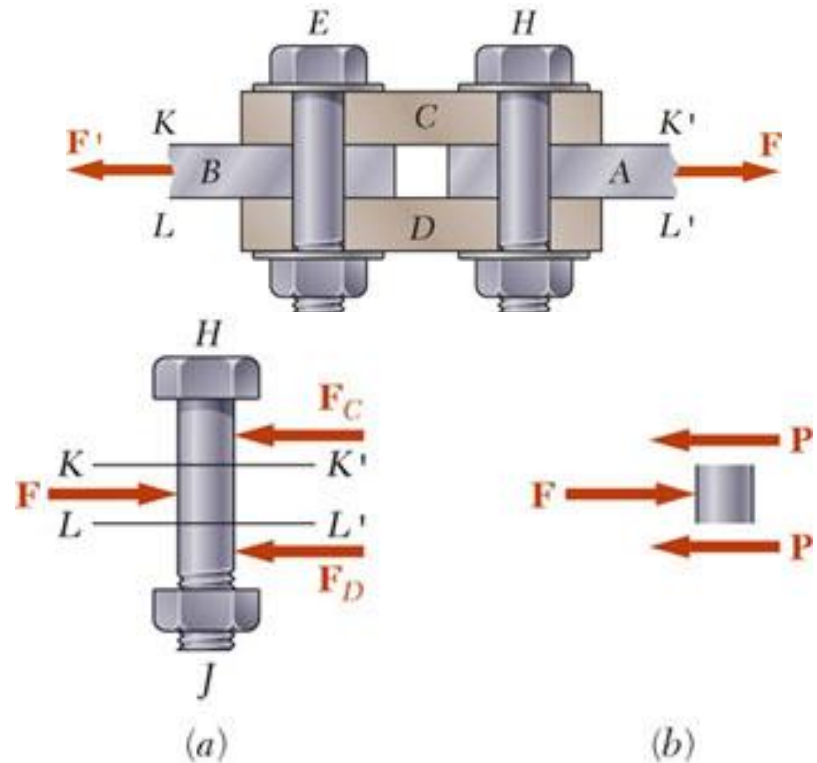


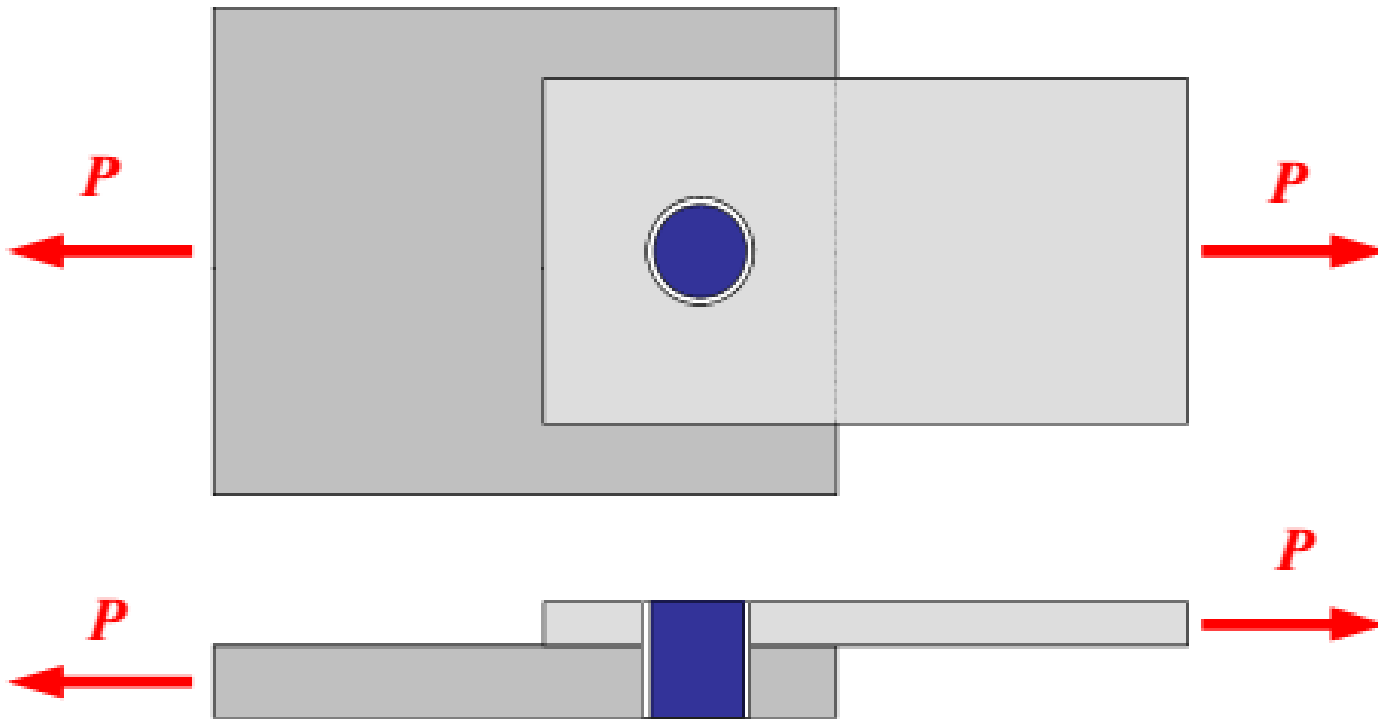
Figura 2.10

$$\tau_{\text{med}} = \frac{P}{A} = \frac{F/2}{A} \quad (2.15)$$



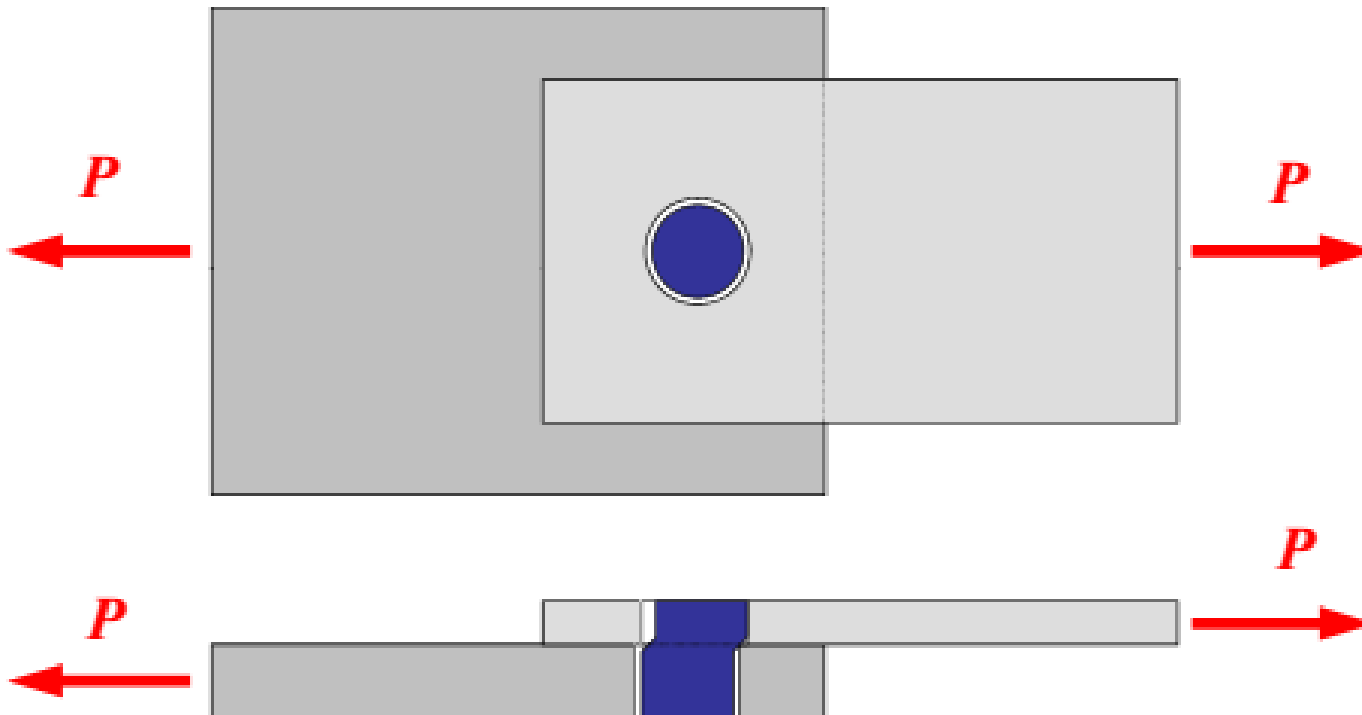
# TENSÃO DE CISALHAMENTO

**Exemplo:**  
**Junta sobreposta simples**



# TENSÃO DE CISALHAMENTO

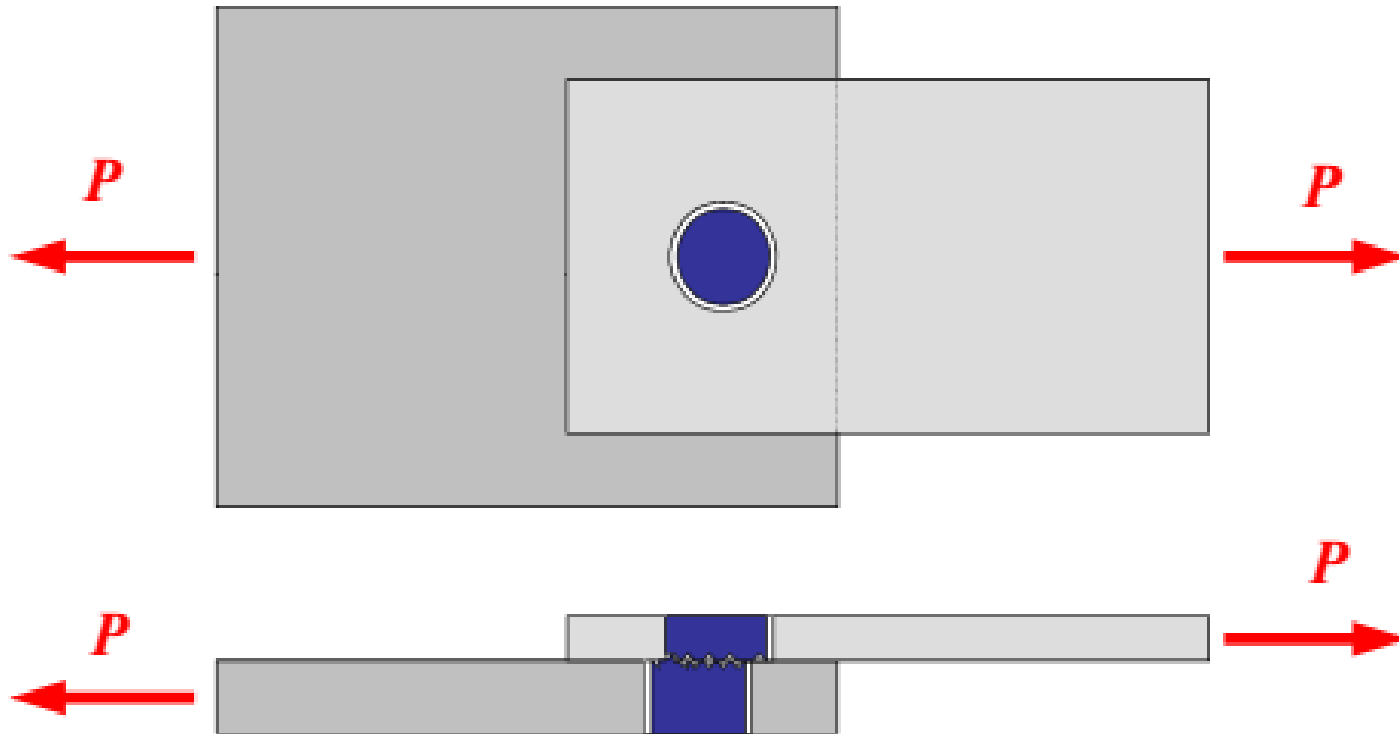
**Exemplo:**  
**Junta sobreposta simples**



# TENSÃO DE CISALHAMENTO

Exemplo:

Junta sobreposta simples (*ruptura por cisalhamento*)

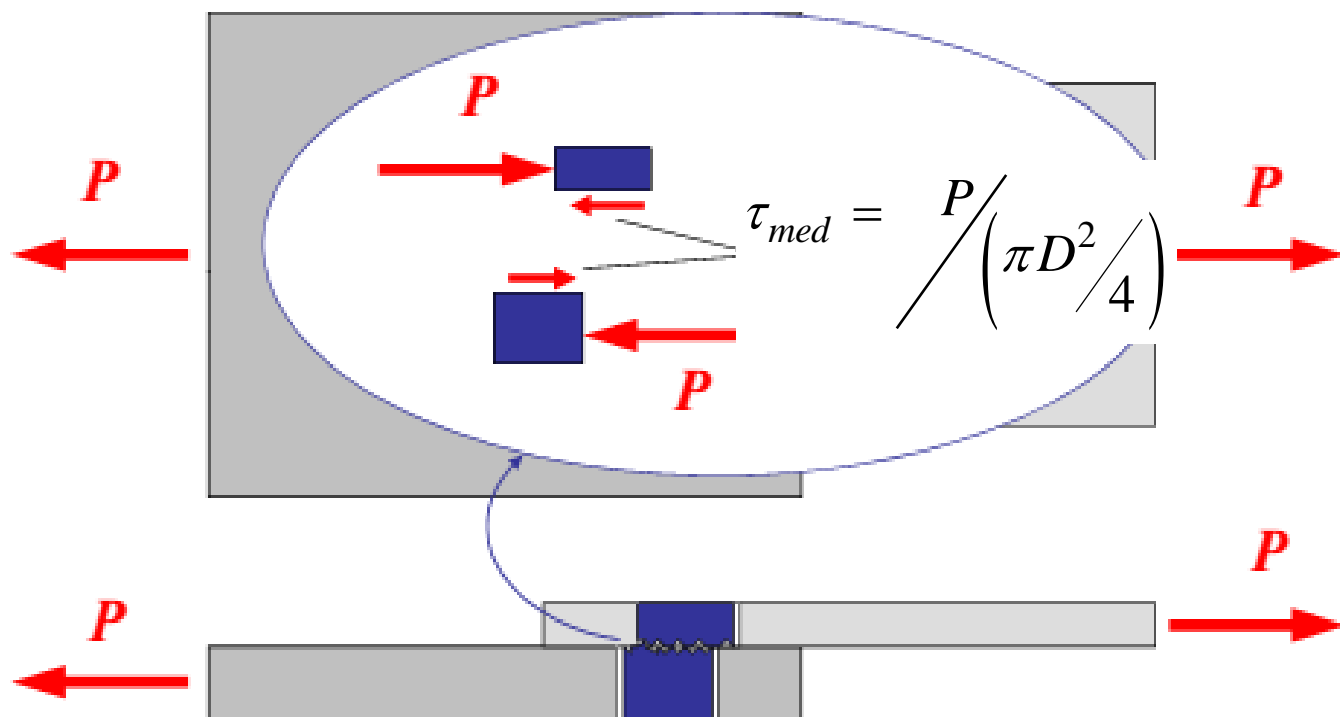




# TENSÃO DE CISALHAMENTO

Exemplo:

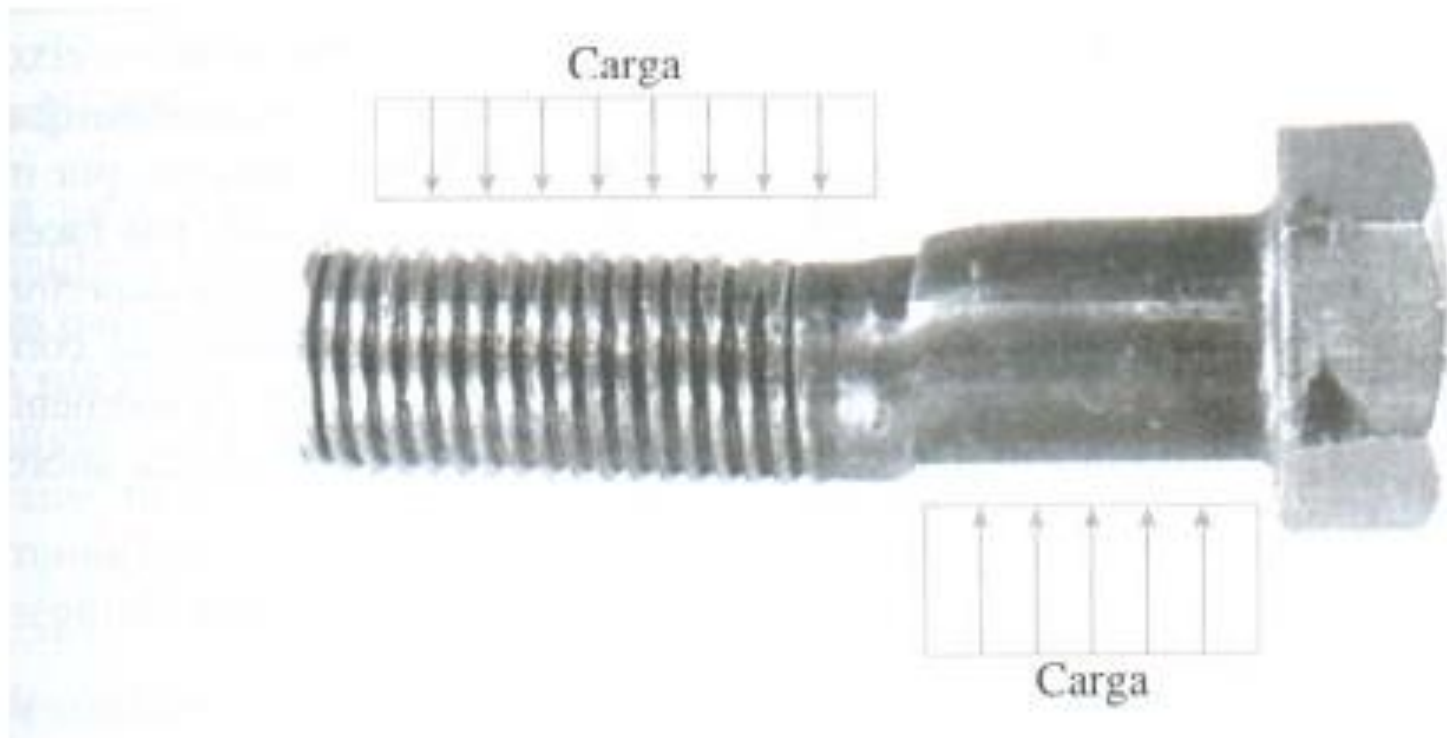
Junta sobreposta simples (*ruptura por cisalhamento*)



# TENSÃO DE CISALHAMENTO

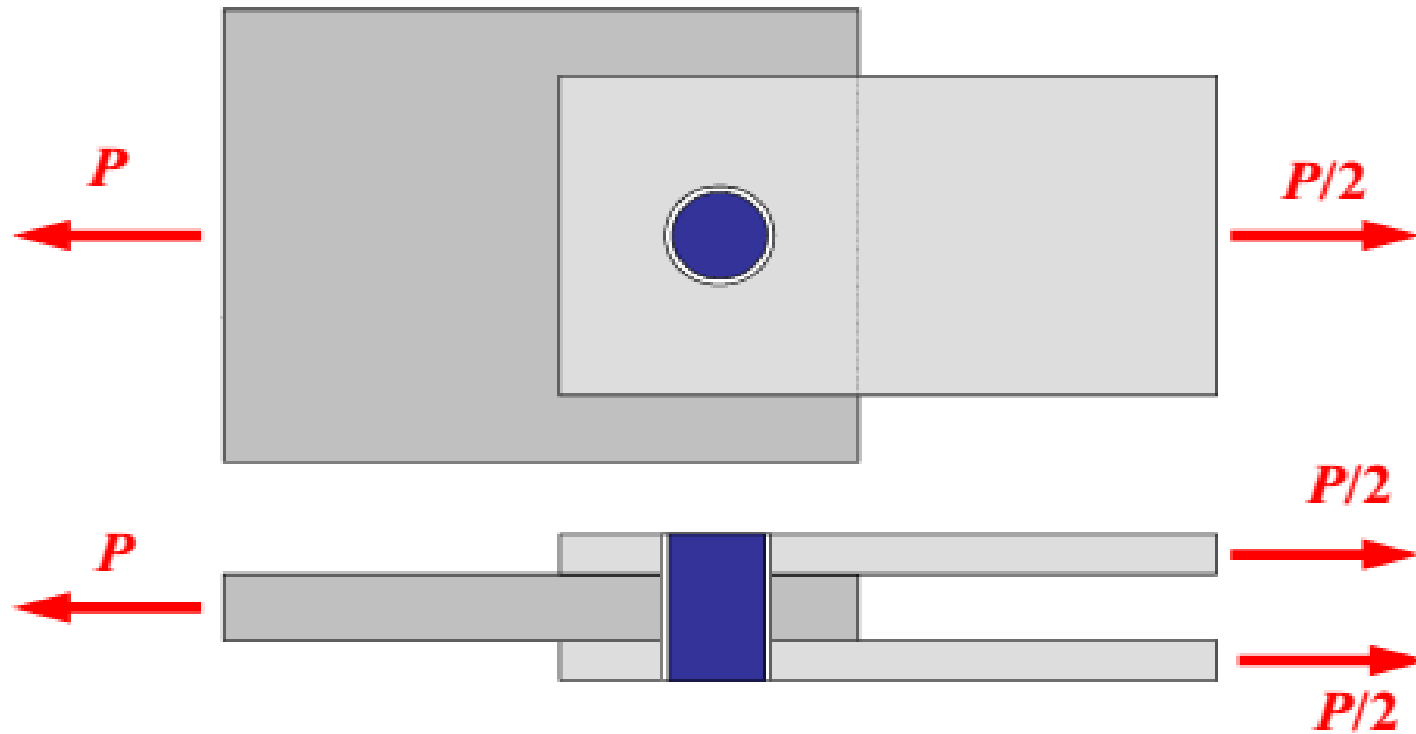
**Exemplo:**

**Junta sobreposta simples (*ruptura por cisalhamento*)**



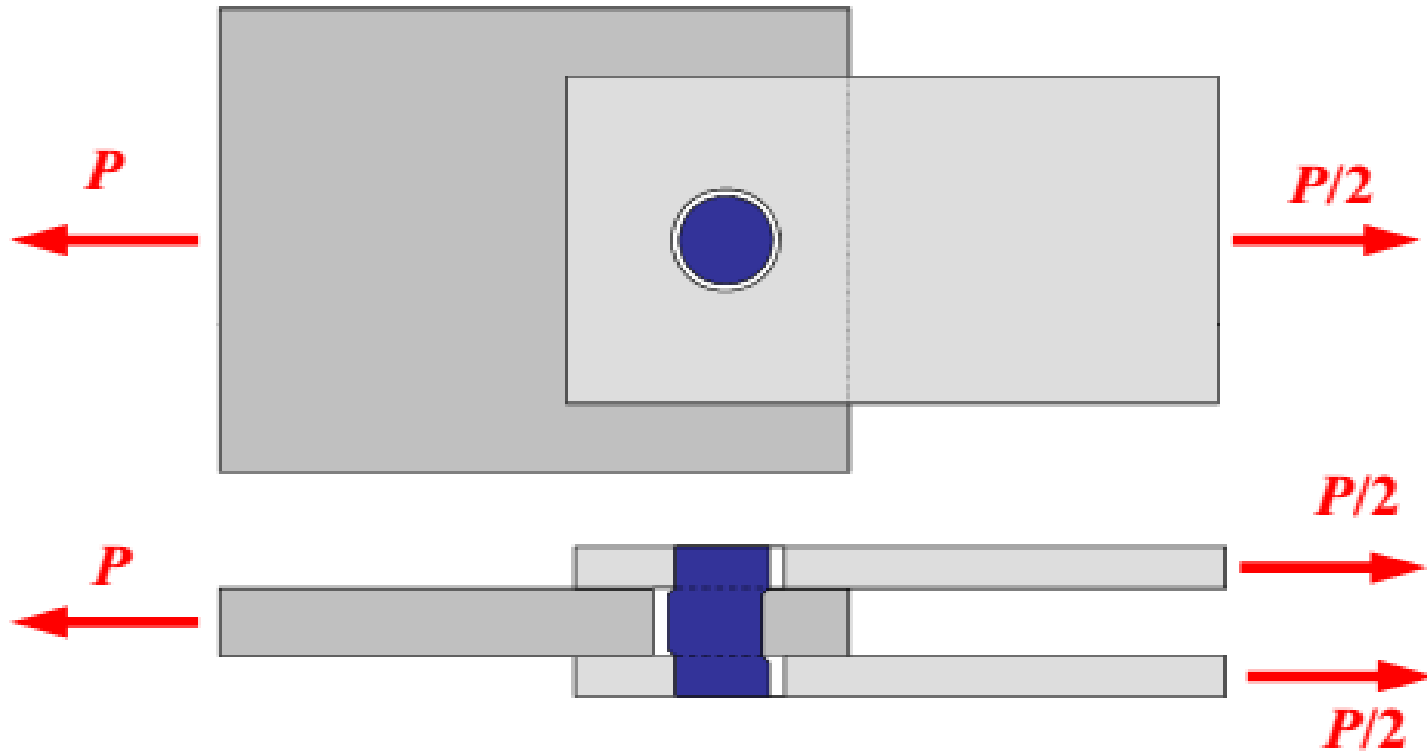
# TENSÃO DE CISALHAMENTO

**Exemplo:**  
**Junta sobreposta dupla**



# TENSÃO DE CISALHAMENTO

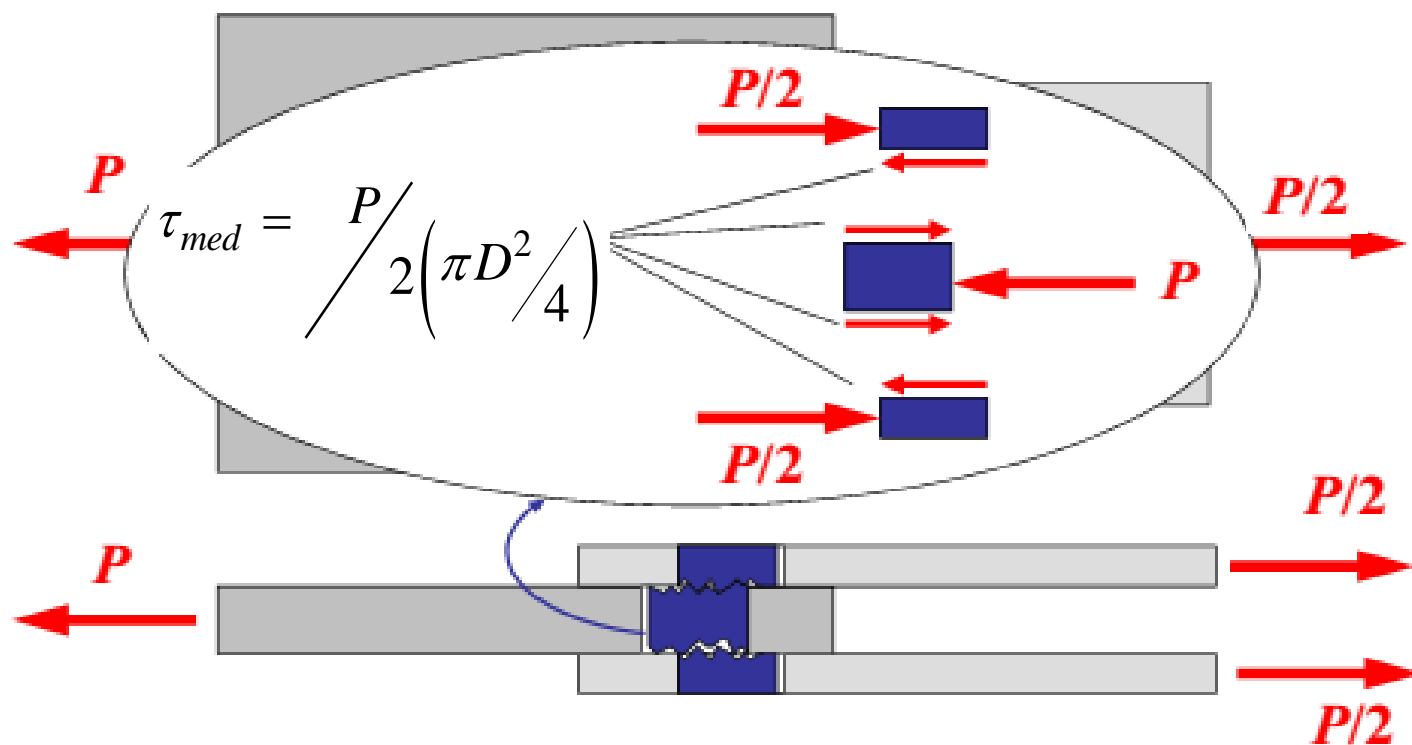
**Exemplo:**  
**Junta sobreposta dupla**



# TENSÃO DE CISALHAMENTO

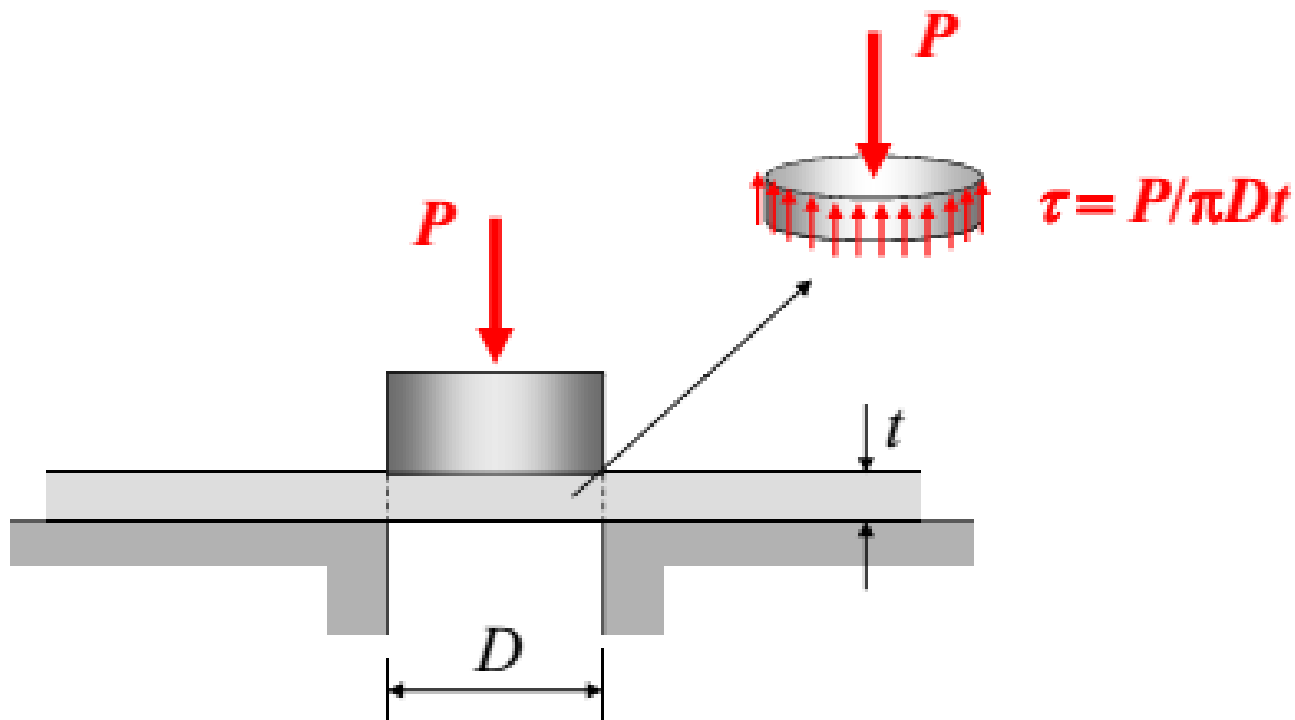
Exemplo:

Junta sobreposta dupla (*ruptura por cisalhamento*)



# TENSÃO DE CISALHAMENTO

## Exemplo: Punção



Temos sempre que atentar para qual área está sofrendo cisalhamento



# TENSÃO DE ESMAGAMENTO

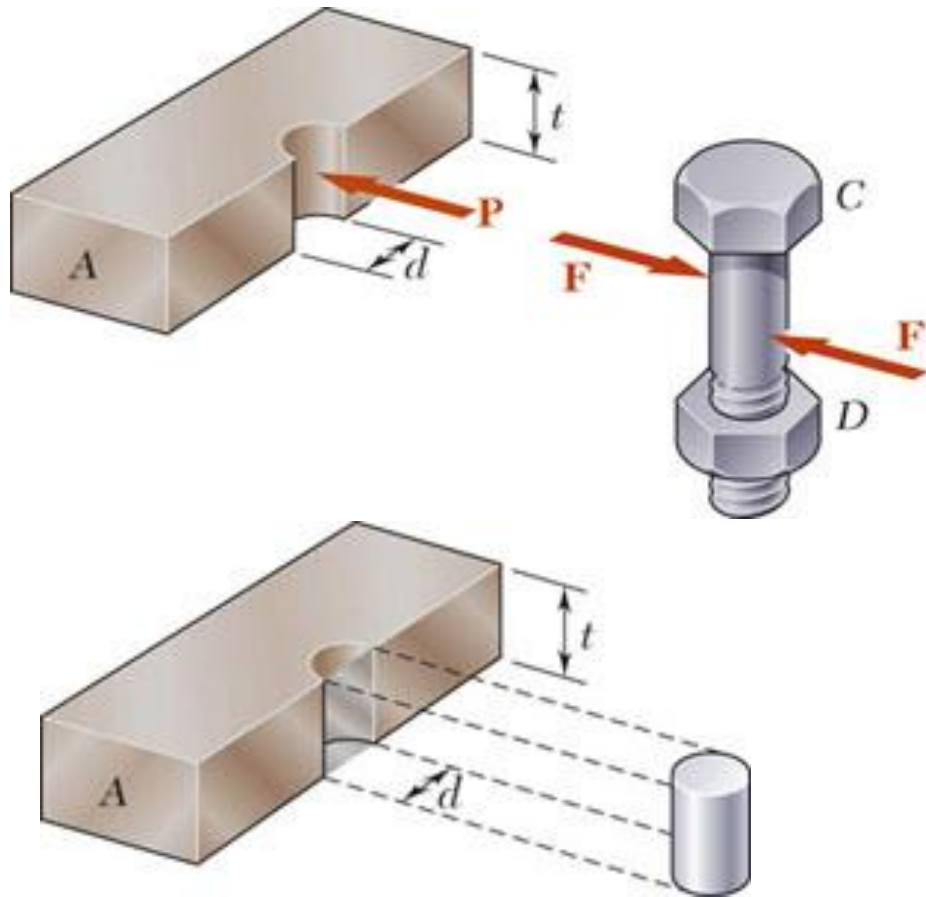


Figura 2.11

Parafusos, rebites e pinos criam tensões ao longo da superfície de esmagamento, ou de contato, nos elementos aos quais eles se conectam.

A resultante da distribuição de força na superfície é igual e oposta à força exercida sobre o pino.

A intensidade da força média correspondente é chamada de tensão de esmagamento, dada por:

$$\sigma_e = \frac{P}{A} = \frac{P}{td}$$

(2.16)



# EXEMPLO DE ANÁLISE DE PROJETO

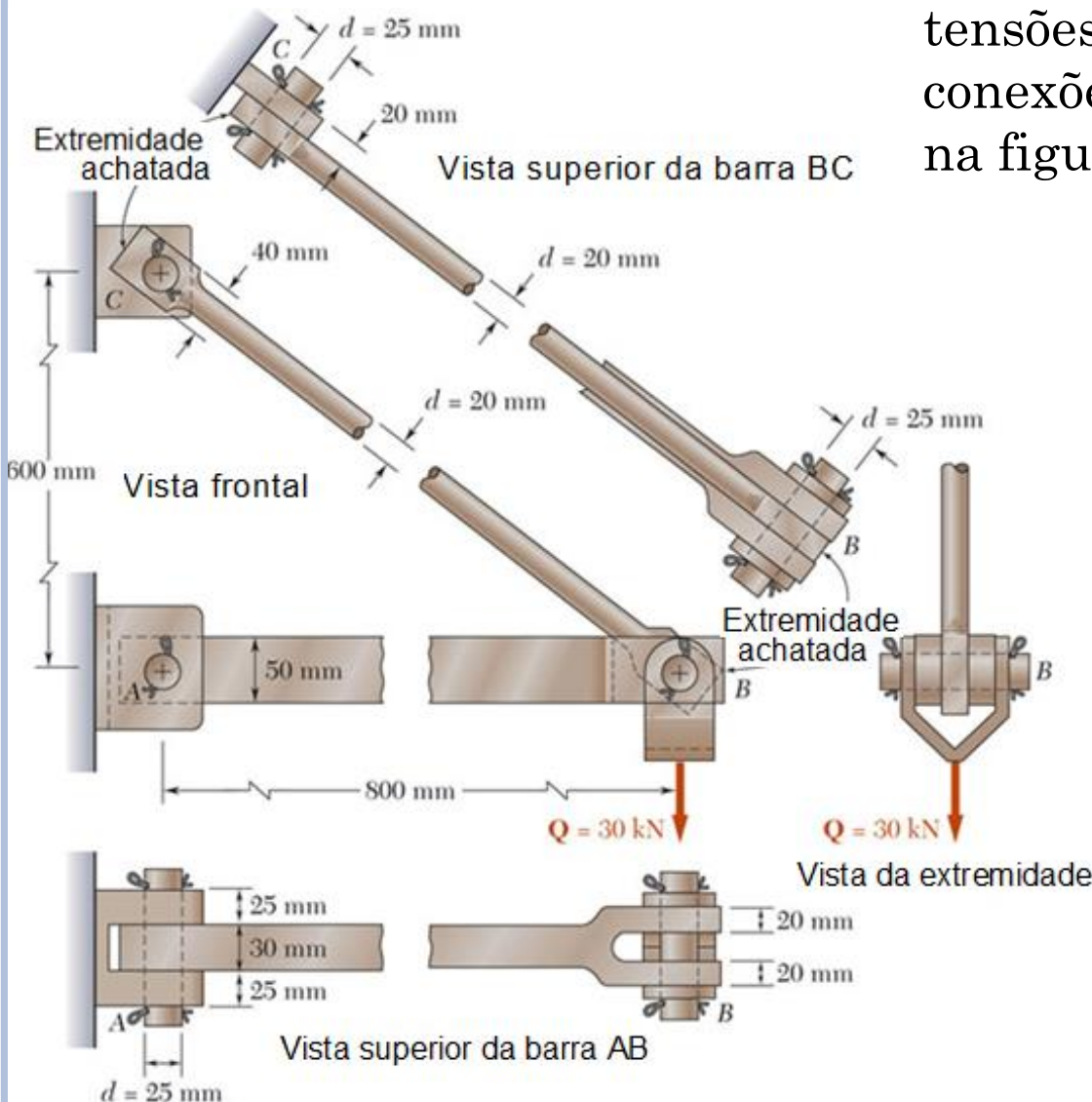
**Exemplo 2.1:** Determinar as tensões nas barras e conexões da estrutura mostrada na figura 2.12

A partir de uma análise estática :

$$F_{AB} = 40 \text{ kN (compressão)}$$

$$F_{BC} = 50 \text{ kN (tração)}$$

Deve-se considerar a máxima tensão normal em AB e BC, e as tensões de cisalhamento e de esmagamento em cada conexão.



**Figura 2.12**



# EXEMPLO DE ANÁLISE DE PROJETO

## (TENSÃO NORMAL)

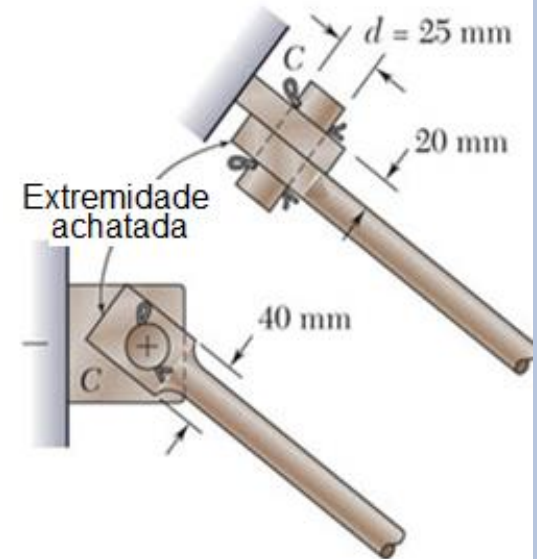
A barra está com uma tensão normal devido uma força axial de 50 kN (tração).

No centro da barra, a tensão normal média na seção transversal circular ( $A = 314 \times 10^{-6} \text{ m}^2$ ) é  $\sigma_{BC} = +159 \text{ MPa}$ .

Nas extremidades achatadas da barra, a menor área transversal é,

$$A = (20 \text{ mm})(40 \text{ mm} - 25 \text{ mm}) = 300 \times 10^{-6} \text{ m}^2$$

$$\sigma_{BC,ext} = \frac{P}{A} = \frac{50 \times 10^3 \text{ N}}{300 \times 10^{-6} \text{ m}^2} = 167 \text{ MPa}$$



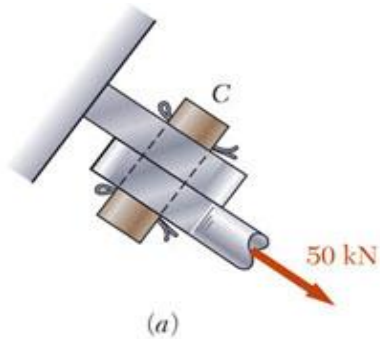
A **barra AB** é comprimida com uma força axial de 40 kN. Sendo a área da seção transversal  $1500 \text{ mm}^2$ , tensão normal média de **-26,7 MPa**.

As seções de área mínima nas extremidades da barra AB não sofrem tensões devido a compressão da barra. A força compressiva só vai até o pino, sendo nula após o mesmo.



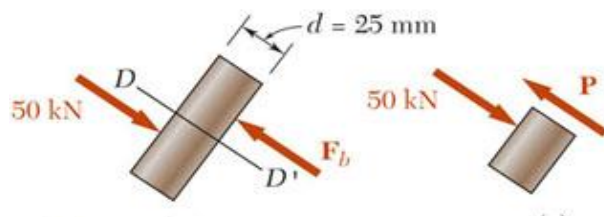
# EXEMPLO DE ANÁLISE DE PROJETO

## (TENSÃO CISALHANTE NAS CONEXÕES)



A área da seção transversal de pinos em A, B e C,

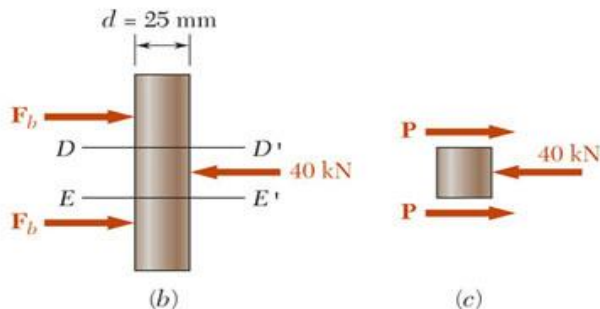
$$A = \pi r^2 = \pi \left( \frac{25 \text{ mm}}{2} \right)^2 = 491 \times 10^{-6} \text{ m}^2$$



A força no pino em C é igual à força exercida pela barra BC, o valor médio da tensão de cisalhamento no pino em C é

$$\tau_{C,med} = \frac{P}{A} = \frac{50 \times 10^3 \text{ N}}{491 \times 10^{-6} \text{ m}^2} = 102 \text{ MPa}$$

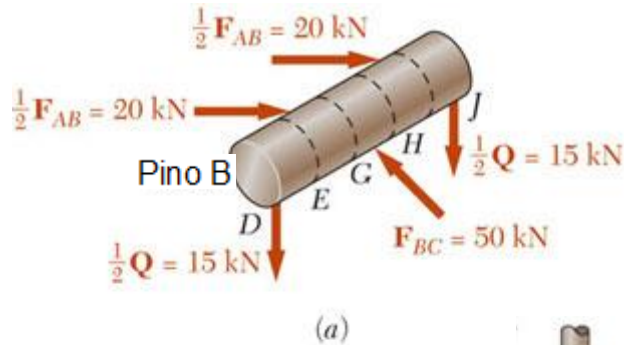
O pino em A está em cisalhamento duplo, portanto a força atuante na barra AB é distribuída em duas áreas:



$$\tau_{A,med} = \frac{P}{A} = \frac{40/2 \text{ kN}}{491 \times 10^{-6} \text{ m}^2} = 40.7 \text{ MPa}$$

# EXEMPLO DE ANÁLISE DE PROJETO

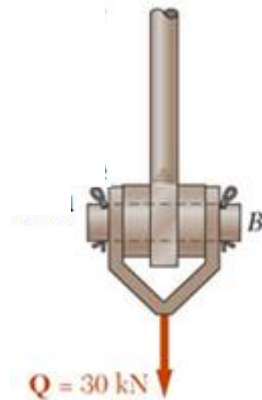
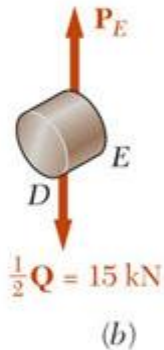
## (TENSÃO CISALHANTE NAS CONEXÕES)



Dividindo o pino B em 5 partes para determinar a seção com a maior força cortante,

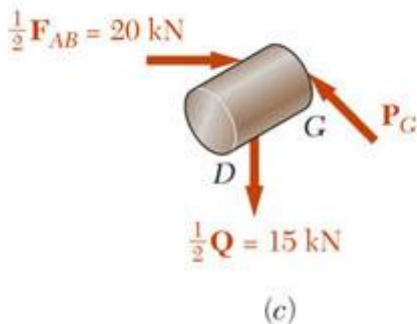
$$P_E = 15 \text{ kN}$$

$$P_G = 25 \text{ kN (Maior)}$$



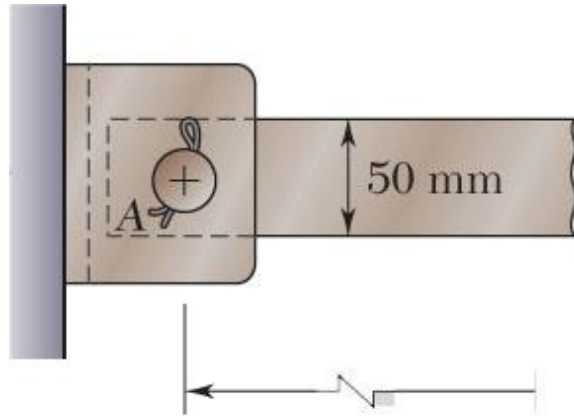
A tensão de cisalhamento média correspondente é:

$$\tau_{B,med} = \frac{P_G}{A} = \frac{25 \text{ kN}}{491 \times 10^{-6} \text{ m}^2} = 50.9 \text{ MPa}$$



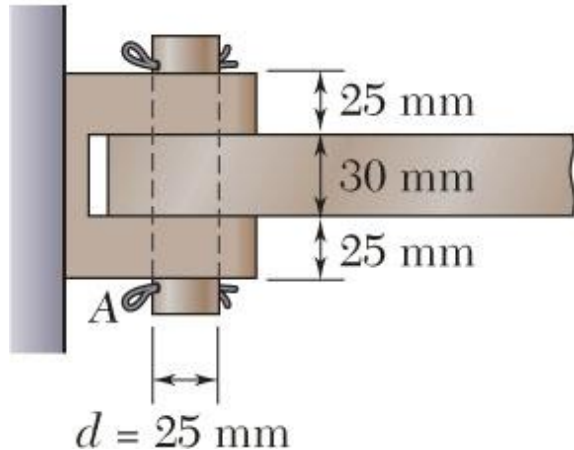
# EXEMPLO DE ANÁLISE DE PROJETO

## (ESMAGAMENTO NA CONEXÕES)



Para determinar a tensão de esmagamento nominal em A na barra AB, temos  $t = 30 \text{ mm}$  e  $d = 25 \text{ mm}$ ,

$$\sigma_e = \frac{P}{td} = \frac{40 \text{ kN}}{(30 \text{ mm})(25 \text{ mm})} = 53.3 \text{ MPa}$$



Para determinar a tensão de esmagamento no apoio em A, temos  $t = 2(25 \text{ mm}) = 50 \text{ mm}$  e  $d = 25 \text{ mm}$ ,

$$\sigma_e = \frac{P}{td} = \frac{40 \text{ kN}}{(50 \text{ mm})(25 \text{ mm})} = 32.0 \text{ MPa}$$

Proceder da mesma forma para calcular os esmagamentos em B e C.

# TENSÃO EM UM PLANO OBLÍQUO

Passe uma seção através da barra formando um ângulo  $\theta$  com o plano normal.

Das condições de equilíbrio, as forças distribuídas sobre o plano devem ser equivalentes à força  $P$ .

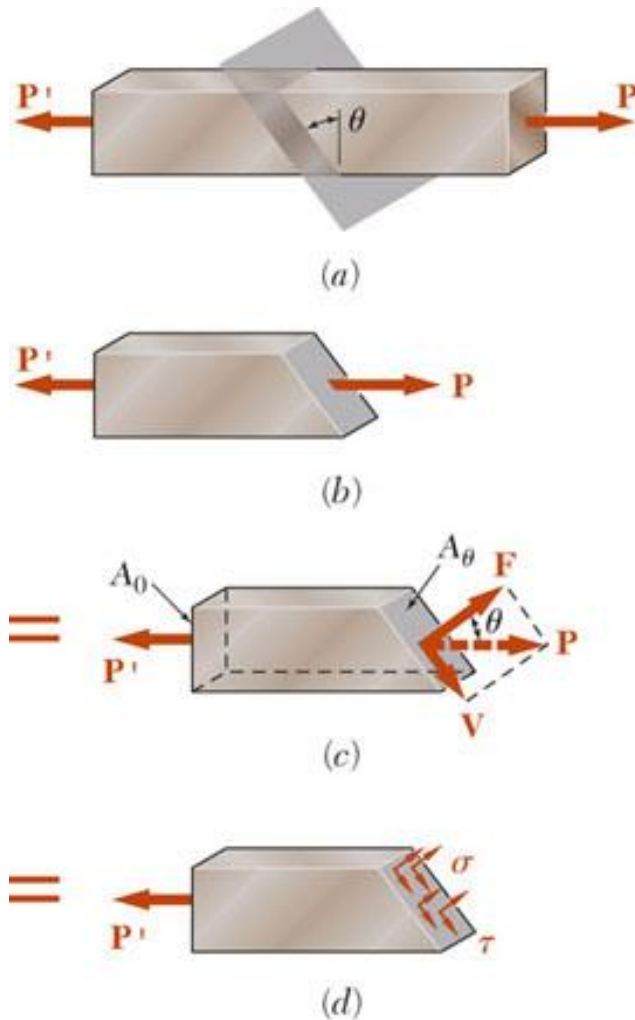
Decompondo  $P$  em componentes normais e tangenciais à seção oblíqua,

$$F = P \cos \theta \quad V = P \sin \theta$$

As tensões normais e de cisalhamento média sobre o plano inclinado são

$$\sigma_{\theta} = \frac{F}{A_{\theta}} = \frac{P \cos \theta}{\frac{A_0}{\cos \theta}} = \frac{P}{A_0} \cos^2 \theta$$

$$\tau_{\theta} = \frac{V}{A_{\theta}} = \frac{P \sin \theta}{\frac{A_0}{\cos \theta}} = \frac{P}{A_0} \sin \theta \cos \theta$$



**Figura 2.13**

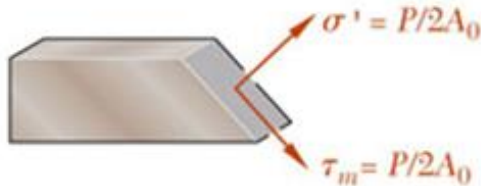
# TENSÃO EM UM PLANO OBLÍQUO



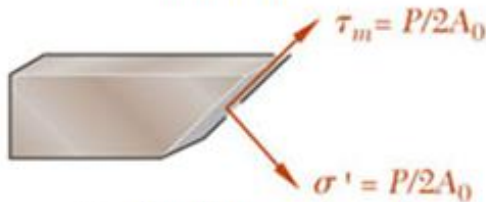
(a) Carga axial



(b) Tensão para  $\theta = 0$



(c) Tensão para  $\theta = 45$



(d) Tensão para  $\theta = -45$

A tensão máxima normal ocorre quando o plano de referência é perpendicular ao eixo da barra ( $\theta=0$ ),

$$\sigma_{\text{máx}} = \frac{P}{A_0} \quad \text{e} \quad \tau' = 0$$

A tensão máxima de cisalhamento ocorre para uma inclinação de  $\pm 45^\circ$  com relação ao eixo da barra,

$$\tau_{\text{máx}} = \frac{P}{A_0} \sin 45 \cos 45 = \frac{\sigma_{\text{máx}}}{2} = \sigma'$$

Ângulo  $\theta$  será **positivo** quando tivermos que girar no sentido **anti-horário**, com relação ao eixo de referência, pra chegar ao plano escolhido. E será **negativo** quando girarmos no sentido **horário**.

Figura 2.14

# FATOR DE SEGURANÇA

Elementos estruturais e de máquinas devem ser concebidos de tal forma que as tensões de trabalho (solicitações) sejam menores do que a resistência final do material (resistência).

**Propriedade do material**

$FS$  = Fator de segurança

$$FS = \frac{\sigma_L}{\sigma_{\text{atuante}}} = \frac{\text{Tensão limite}}{\text{Tensão máxima atuante}}$$

Considerações para um fator de segurança:

- Incerteza nas propriedades do material
- Incerteza de cargas
- Incerteza das análises
- Número de ciclos de carga
- Tipos de falha
- Requisitos de manutenção e os efeitos de deterioração
- Importância do componente para a integridade de toda estrutura
- Risco à vida e à propriedade
- Influência sobre a função da máquina



# EXERCÍCIOS





# EXERCÍCIOS

**Exercício 2.1:** Duas barras cilíndricas AB e BC são soldadas uma à outra em B e submetidas ao carregamento mostrado na figura 2.15. Determine a intensidade da força  $P$  para a qual a tensão normal de tração na barra AB é duas vezes a intensidade da tensão de compressão na barra BC

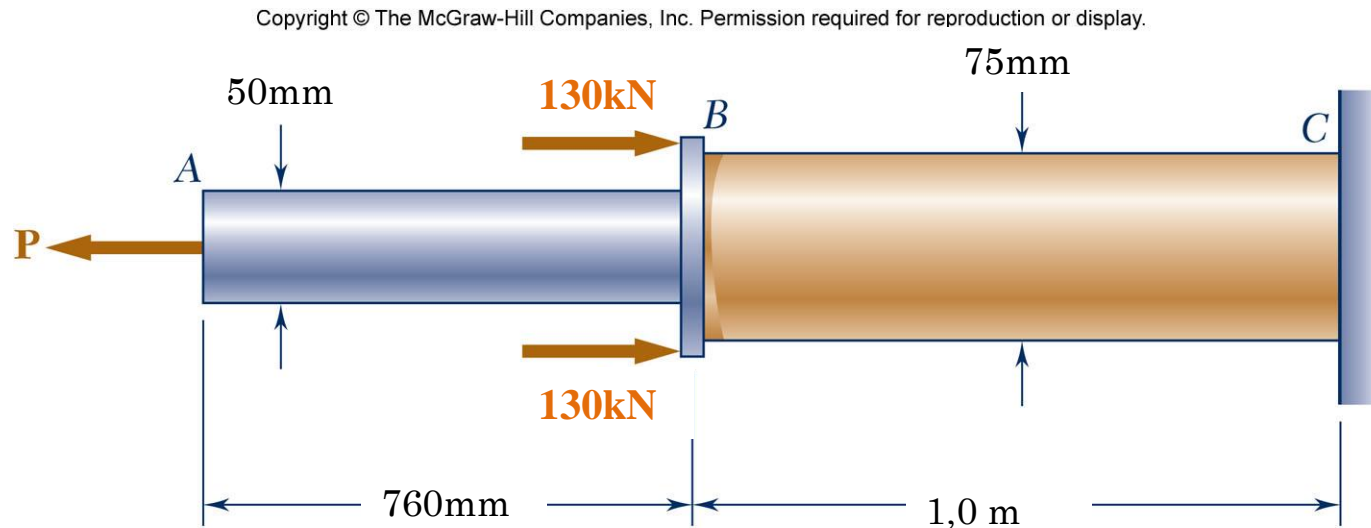


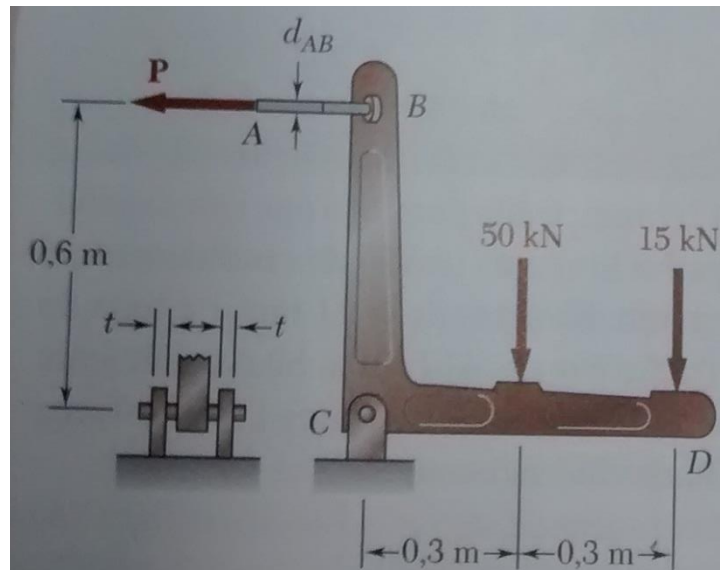
Figura 2.15



# EXERCÍCIOS

**Exercício 2.2:** São aplicadas duas forças ao suporte BCD mostrado na figura 2.16.

- Sabendo que a barra de controle AB deve ser feita de aço e ter um limite de tensão normal de 600MPa, determine o diâmetro da barra para o qual o coeficiente de segurança com relação à barra seja 3,3.
- Sabendo que o pino em C deve ser feito de um aço com limite de tensão de cisalhamento de 350MPa, determine o diâmetro do pino C para o qual o coeficiente de segurança com relação ao cisalhamento também seja 3,3.
- Determine a espessura necessária para as barras de apoio em C sabendo que a tensão de esmagamento admissível do aço é 300MPa

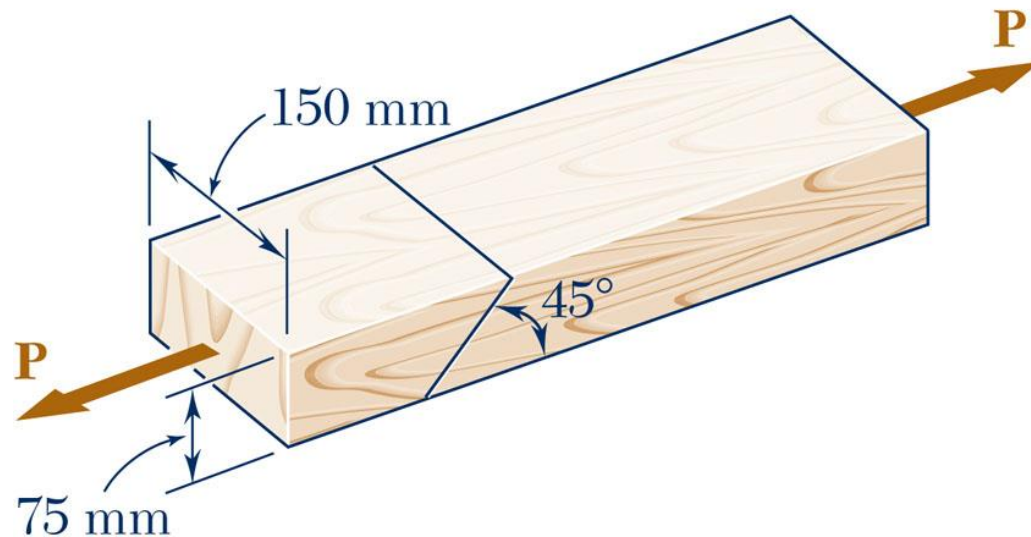


**Figura 2.16**

# EXERCÍCIOS

**Exercício 2.3:** Dois elementos de madeira de seção transversal retangular são unidos por uma emenda colada, como mostra a figura 2.17. Sabendo que a máxima tensão de tração admissível normal à emenda é 560kPa, determine a maior carga  $P$  que poderá ser aplicada.

Copyright © The McGraw-Hill Companies, Inc. Permission required for reproduction or display.

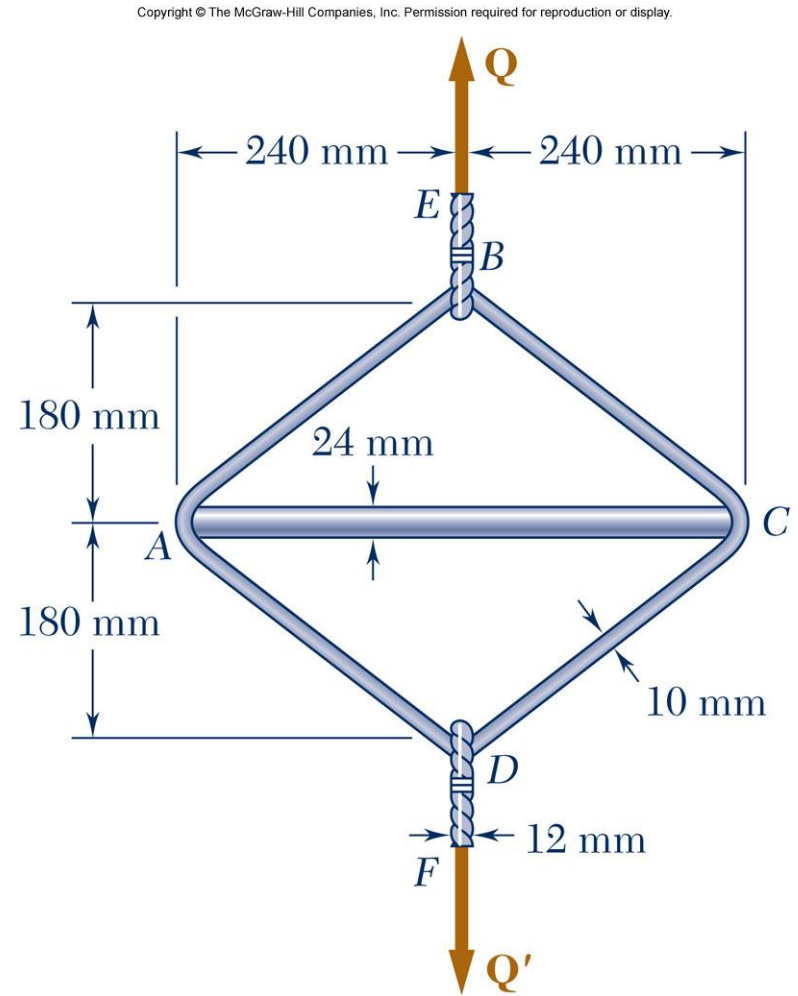


**Figura 2.17**



# EXERCÍCIOS

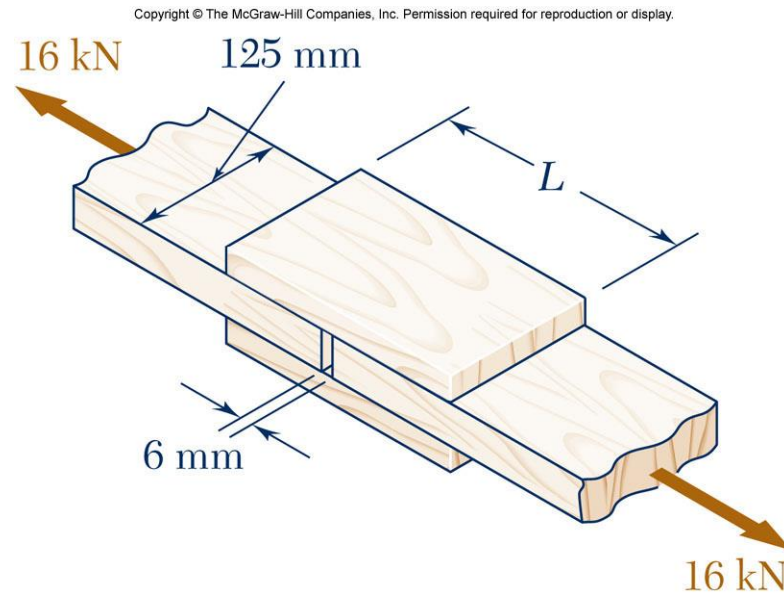
**Exercício 2.4:** Um aro de aço em forma de losango ABCD com comprimento total de 1,2m e com 10mm de diâmetro é colocado para envolver uma barra de alumínio AC com 24mm de diâmetro, conforme mostrado na figura 2.18. São utilizados os cabos BE e DF, cada um com 12mm de diâmetro para aplicar a carga  $Q$ . O limite de resistência do aço é 480 MPa e que o limite de resistência do alumínio utilizado é 260MPa. Determine a máxima carga  $Q$  que poderá ser aplicada, adotando-se um coeficiente de segurança igual a 3 para o aro de aço e a barra de alumínio.



**Figura 2.18**

# EXERCÍCIOS

**Exercício 2.5:** Os dois elementos de madeira mostrados na figura 2.19 suportam uma carga de 16kN e são unidos por juntas de madeira perfeitamente coladas pela superfície de contato. A tensão de cisalhamento limite da cola é de 2,5 MPa e o espaçamento entre os elementos é de 6mm. Determine o comprimento  $L$  necessário para que as juntas trabalhem com um coeficiente de segurança igual a 2,75.



**Figura 2.19**

